

# 核物理电子学方法

賴祖武等 編著

上海科学技术出版社

## 内 容 提 要

本书较系统地介绍了核辐射测量和核物理实验中的主要电子技术。全书共分十章，其中包括核辐射探测器、脉冲线性放大器、直流放大器、各种计数电路、脉冲振幅分析器、符合电路、示波系统以及稳定电源等。在叙述中注重电路的基本原理的分析和各种实验对电路的要求，并且在各部分还介绍了一些实际电路。

本书可以作为综合大学及工科大学的有关专业的教学用书，也可供从事原子能事业的电子学工作者及广大的科学工作者、工程技术人员及一般电子学工作者参考。

## 核物理电子学方法

賴祖武等 编著

\*

上海科学技术出版社出版

(上海瑞金二路450号)

上海市书刊出版业营业登记证093号

新华书店上海发行所发行 各地新华书店经售

商务印书馆上海厂印刷

\*

开本 787×1092 1/18 印张 35 4/18 插页 7 字数 739,000

1961年10月第1版 1961年10月第1次印刷

印数 1—14,500

统一书号：13119·423

定 价：(十) 3.40 元

# 目 录

## 序

<b>第一章 核辐射探测器</b>	1
第一节 引言	1
第二节 脉冲电离室	2
一、电离室的基本工作原理	2
二、电离室用于测量 $\alpha$ 、 $\beta$ 、 $\gamma$ 射线时的基本知識	7
三、电离室结构的一般考虑	10
四、充气的考虑	11
五、电极颤动的影响	11
六、电离室的本底计数	12
第三节 积分(或累計)电离室	12
第四节 正比計數器	13
第五节 盖革-弥勒計數管	20
一、盖革-弥勒計數管的工作原理	20
二、自淬灭盖革-弥勒計數管的几个重要特性及指标	24
三、盖革-弥勒計數管的构造	28
四、卤素計數管	30
五、几种苏联出品的計數管	32
第六节 闪烁計數器	35
一、引言	35
二、光电倍增管的原理及基本特性	36
三、光电倍增管的结构	40
四、光电倍增管的级间电压以及对电源的要求	43
五、磷光体的种类	50
第七节 中子探测器	56
<b>第二章 电压放大器基础</b>	59
第一节 单管电压放大器	59
一、单管电压放大器的完整等效电路	60
二、放大器的稳态特性——频率和相位特性方程式	62

三、放大級的优良度.....	66
四、放大器工作点及參量的选择.....	68
五、五极管放大器的設計.....	71
六、多級电压放大器.....	74
<b>第二节 电压放大器指标的稳定性.....</b>	<b>77</b>
一、放大倍数的稳定性.....	78
二、频率特性的稳定性.....	80
三、相位特性的稳定性.....	81
<b>第三节 放大器的交流声.....</b>	<b>82</b>
一、交流声的来源.....	82
二、減弱交流声的方法.....	83
<b>第四节 放大器的噪声.....</b>	<b>85</b>
一、电阻的热噪声.....	86
二、散粒噪声.....	88
三、栅流噪声.....	90
四、閃爍噪声.....	92
五、各种噪声电压的比較.....	92
六、訊号噪声比及噪声数字.....	94
<b>第五节 放大器的反饋.....</b>	<b>96</b>
一、反饋的分类.....	96
二、反饋对放大器的輸入、輸出阻抗的影响.....	97
三、反饋对放大倍数及其稳定性的影响.....	99
四、反饋对幅度特性曲綫的錢性影响.....	100
五、反饋对频率及相位特性曲綫的影响.....	100
<b>第六节 几种基本的放大单元电路.....</b>	<b>105</b>
一、阴极負反饋放大器.....	105
二、阴极輸出器.....	108
三、怀特阴极輸出器.....	116
四、板极跟随器.....	120
五、串接放大器.....	123
六、双电子管阴极耦合放大器——分差放大器及倒相器.....	130
七、兩級和三級負反饋放大器.....	136
八、双T型RC选頻放大器.....	138
<b>第三章 脉冲放大器.....</b>	<b>143</b>

<b>第一 节 引言</b>	143
一、核物理实验中的脉冲技术問題	143
二、脉冲基本指标	143
三、脉冲的頻譜和对放大器的要求	144
<b>第二 节 分析放大器瞬态过程的数学基础</b>	147
一、运算法	147
二、費亚美尔积分法	154
<b>第三 节 单級阻容耦合放大器的瞬态特性</b>	155
一、理想阶跃电压輸入	155
二、指数上升的电压輸入	160
<b>第四 节 瞬态特性与稳态特性的联系</b>	162
<b>第五 节 放大器的附属电路对瞬态特性的影响及单管脉冲放大器的实 际設計考慮</b>	164
<b>第六 节 多級阻容耦合放大器的瞬态过程</b>	167
一、輸出脉冲的前沿	167
二、平坦部分的建立过程	168
三、放大器級数的决定	169
<b>第七 节 反饋对放大器瞬态过程的影响</b>	171
<b>第八 节 阴极輸出器的瞬态过程</b>	172
<b>第九 节 两級負反饋放大器的瞬态过程</b>	175
<b>第十 节 頻率特性及相位特性的补偿方法(布拉烏杰法)及电感补偿放 大器</b>	179
<b>第十一节 輻射測量的線性放大器的要求与一般考慮</b>	184
一、放大器的基本单元	188
二、放大器的結構	188
三、微分整形电路	189
四、抗阻塞的考慮	193
<b>第十二节 一些实际的線性放大器線路</b>	194
<b>第十三节 核輻射放大器的訊号噪声比及灵敏度的进一步討論</b>	204
<b>第十四节 分布式放大器</b>	211
<b>第四章 直流放大器</b>	223
<b>第一 节 引言</b>	223
<b>第二 节 简单的直流电压放大器</b>	224
一、具有負压电源的直流放大器	224

二、不用負压电源的直接耦合放大器.....	296
<b>第三章 直流电压放大器的漂移現象及阴极补偿方法.....</b>	<b>228</b>
<b>第四节 直流电流放大器——电子管静电計.....</b>	<b>234</b>
一、一般原理.....	234
二、简单电路.....	240
三、带放大器的电路.....	244
<b>第五节 将直流变为交流的調制方法.....</b>	<b>249</b>
一、利用斬波器的調制方法.....	249
二、正弦波电压調制方法.....	250
三、調制电流源的方法.....	251
四、动态电容器法.....	253
<b>第六节 零点漂移的自动补偿方法.....</b>	<b>256</b>
一、具有輔助放大器补偿零点漂移的反饋直流放大器.....	256
二、将輸出与輸入端电压比較的自动零点調整方法.....	260
三、借助記憶电容的零点漂移自动补偿方法.....	261
<b>第七节 对数直流放大器.....</b>	<b>267</b>
<b>第五章 脉冲的产生及变换.....</b>	<b>272</b>
<b>第一节 引言.....</b>	<b>272</b>
<b>第二节 連續振蕩的多諧振蕩器.....</b>	<b>274</b>
一、基本工作原理.....	275
二、多諧振蕩器的翻轉速度.....	279
三、多諧振蕩器的工程設計及波形修整方法.....	284
四、多諧振蕩器的頻率穩定性及同步的方法.....	286
<b>第三节 单向振动器.....</b>	<b>288</b>
一、板栅直接耦合单向振动器.....	290
二、阴极耦合单向振动器.....	294
<b>第四节 幻异电路.....</b>	<b>307</b>
<b>第五节 閘流管脉冲发生器.....</b>	<b>310</b>
<b>第六节 二次电子发射管脉冲发生器.....</b>	<b>311</b>
<b>第七节 阻塞振蕩器.....</b>	<b>313</b>
<b>第八节 仿真線延迟网絡及脉冲形成电路.....</b>	<b>321</b>
<b>第九节 波形的微分及切削.....</b>	<b>330</b>
一、波形的微分.....	330
二、波形的切削.....	331

<b>第六章 計數電路</b>	335
第一節 簡單計數電路	335
第二節 定標單元電路——除二電路	338
一、基本工作過程	339
二、電路的設計	340
三、電路的翻轉速度及分辨時間	348
四、觸發脈衝的幾種耦合方式	353
第三節 $2^n$ 進位定標器的實際電路	355
一、一個完整的 $2^n$ 進位定標器的幾個組成部分	355
二、實際定標器電路的介紹	359
第四節 十進位定標電路	362
一、環狀連接十進位定標電路	362
二、反饋連接十進位定標電路	364
第五節 計數電路的效率對分辨時間的要求以及分辨時間的測量方法	369
一、關於簡單計數電路的計數效率	370
二、關於定標器的計數效率	371
三、定標器分辨時間的測定	376
第六節 特種十進位計數管及其電路	378
一、含氣冷陰極十進位計數管	378
二、帶束管	383
三、磁旋管或束开关管	386
第七節 直線性計數率儀電路	391
第八節 對數計數率儀電路	395
<b>第七章 脈衝幅度甄別器</b>	403
第一節 簡單的脈衝幅度甄別電路	403
一、兩極管甄別電路	404
二、截止放大器甄別電路	405
三、施密特電路	407
第二節 施密特電路的幾種改進方案	411
一、用五極管代替陰極電阻的電路	411
二、輸入端採用晶體兩極管箝位的電路	412
三、採用電感補償的方法來提高翻轉速度	413
四、交流耦合施密特電路	413
五、帶有晶體兩極管的施密特電路	414

六、負向触发施密特电路	415
<b>第三节 快速脉冲幅度甄别电路</b>	<b>416</b>
第四节 单道脉冲幅度(微分)分析器	418
第五节 多道脉冲幅度分析器	425
<b>第八章 符合电路</b>	<b>458</b>
第一节 符合电路的主要参量以及符合技术在核物理实验中的主要应用	458
一、符合电路的主要参量	458
二、符合技术在核物理实验中的主要应用	464
<b>第二节 电子管符合电路</b>	<b>476</b>
一、罗西电路及加文改进电路	476
二、共阴极负载符合电路	483
三、多极管符合电路	485
四、分布式符合电路	488
<b>第三节 晶体两极管符合电路</b>	<b>489</b>
<b>第四节 門电路</b>	<b>496</b>
<b>第五节 异符合</b>	<b>497</b>
<b>第六节 延迟符合</b>	<b>499</b>
<b>第七节 具有脉冲幅度甄别器的符合电路</b>	<b>505</b>
<b>第八节 多道时间分析器</b>	<b>507</b>
<b>第九章 脉冲示波</b>	<b>521</b>
第一节 引言	521
<b>第二节 示波管</b>	<b>521</b>
<b>第三节 扫描电压发生器</b>	<b>527</b>
一、简单扫描电压发生器的原理	527
二、扫描电压波的参量及指标	529
<b>第四节 扫描电压波的直线化</b>	<b>532</b>
一、在R上串联电感恒流法	532
二、五极管恒流法	534
三、自举电路恒流法	537
四、积分放大法	542
<b>第五节 快速扫描电路</b>	<b>545</b>
<b>第六节 时标电路</b>	<b>546</b>
<b>第七节 脉冲示波系统</b>	<b>548</b>

一、連續扫描的示波系統	548
二、被測脉冲与扫描由同一訊号驅动的脉冲示波系統	551
三、单个脉冲示波系統	553
<b>第十章 稳定电源</b>	<b>556</b>
第一 节 稳压电源的主要指标以及最简单的稳压管稳压电源	556
第二 节 电子管低压(100~500伏)稳压电源	562
一、串联式稳压电路的工作原理	562
二、串联式稳压电路的主要參量	563
三、串联式稳压电源的設計考慮	568
四、一些实际的低压稳压电路	572
第三 节 电子管高压(600~5000伏)稳压电源	576
一、串联式高压稳压电路	577
二、并联式稳压电路的工作原理	578
三、并联式稳压电路的主要參量	579
四、并联式稳压电路的設計考慮	581
五、一些实际的高压稳压电源电路	583
第四 节 一些特殊的稳定电源的考慮	586
一、方波調制稳压电源	586
二、静电加速器高电压的稳定方法	587
第五 节 电流的稳定方法	589
第六 节 大电流的稳定	593
一、采用直流放大器的反饋控制系统	593
二、采用閘流管及移相网络的控制系统	596
三、采用磁共振譜綫进行稳定磁场的方法	599
附录一 热噪声公式的推导	605
附录二 散粒噪声公式的推导	608
附录三 拉普拉斯变换函数表	611
附录四 核輻射測量的統計漲落	614

# 第一章 核輻射探測器

## 第一节 引 言

天然或人工放射物质有三种射綫—— $\alpha$ 、 $\beta$  及  $\gamma$  射綫。 $\alpha$  射綫为高速氦核， $\beta$  射綫为高速电子， $\gamma$  射綫为波长极短的电磁波。当原子核裂变时，会有中子辐射出来。此外，在高能核反应时会产生介子或其他基本粒子（如反质子等）。所有这些統称为核輻射。

我們也可以把核輻射出来的物质分为三类：一类是带电粒子（重的和輕的，如  $\alpha$ 、 $\beta$  粒子），一类是不带电的中性粒子（如中子），另一类是电磁波（如  $\gamma$  射綫）。这三类射綫（或粒子）与物质相互作用的情况是不同的。根据射綫与物质相互作用情况的不同，我們可以探测粒子的各种性质，这就是原子核物理探测技术的基础。探测技术是核物理中发展得最早、应用得最广的技术，它和加速器技术、反应堆技术构成核物理实验技术中三个主要部分。探测器的改进和創造是核物理发展的主要因素之一，在核物理实验中，无论是否新現象的发现和物质内部运动規律的研究，都需要灵敏而可靠的探测仪器。例如，只有具备了灵敏可靠的探测器才可能研究原子核在激发状态下的辐射綫及核裂变、核反应时放出的辐射强度和能量，而这一系列的研究就是人类探求物质的奧秘——原子核结构的基本方法。

除了核物理的研究外，放射性同位素已广泛应用在工业、农业、医学、生物和化学等各种科学技术領域中。放射性同位素的应用給这些部門带来了新的发展。随着和平利用原子能事业的发展，还必須相应发展放射性矿藏的勘探技术，放射性物质使用操作的檢查、监督技术，以及辐射的防护、控制技术。所有这一切都要求有各种各样可以测量核辐射的灵敏仪器。

由于应用电子学的方法，核輻射的测量技术得到迅速发展和提高。电子学方法的优点在于：(1)灵敏度高；(2)迅速；(3)便于自动記錄和控制。一个完整的核輻射探测装置应包括两个部分：第一个部分是将辐射能轉变为电能的能量轉換器——辐射探测器，第二部分是各种特殊的电子线路。

适用于各种特殊用途的探测器的种类及具体設計极多，本章主要是对几种最重要、最广泛使用的探测器加以介紹，而討論的角度着重于各种探测器的基本工作原理、特征以及对电子线路的要求。对于各种探测器的全面介紹和深入的理論探

討則不在本書範圍之內。

探测器通常可分为两类：第一类是以气体作为媒质，第二类是以液体、固体作为媒质（密媒质）。前者包括：脉冲电离室、累計电离室、正比計数管、盖革-弥勒計数管等。后者包括各种固体、液体閃爍計数器等。这一切都将在本章內加以介紹。这些探测器大多用于探测带电粒子及电磁辐射，至于对中性粒子的探测方法，亦将在本章末加以简单的介紹。此外，尚有各种云雾室、气泡室、核子乳胶、契連科夫計数器、火花計数器等，就不在此介绍了。讀者如对本章所介紹的探测器需要进一步研究或对本章未加以介绍的也有兴趣的話，可以参考一些专論<sup>[1]~[3]</sup>。

## 第二节 脉冲电离室

### 一、电离室的基本工作原理

在气体中安置一对电极，并加上几百伏的电压，如图 1-1 所示。这时如果气体中有离子存在，则正离子将在电场作用下趋向阴极，而负离子（或电子）则趋向阳极，

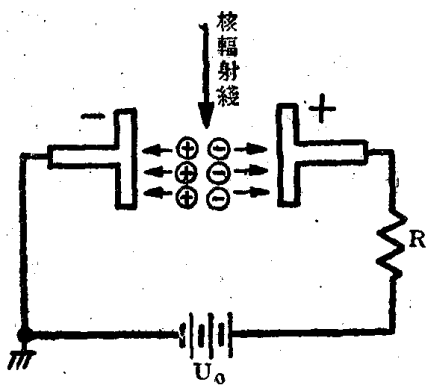


图 1-1 电 离 室

构成电离电流，此电离电流在电阻  $R$  上产生电压降。平时气体中的离子非常少，所以这时的电离电流可以略去不计。当原子核放射线穿入电极間的气体时，这些射线将损失自己的辐射能量而使气体分子电离，于是在射线所經過的路程中将产生許多离子对，由于外加电场的作用，电子趋向阳极，而正离子趋向阴极。当辐射线中有一个荷电粒子进入就产生一批离子，因而就产生一股脉冲电流。这样，利用辐射线的电离性质，我們就可以从电阻  $R$  上的脉冲电压来测量射线中粒子的数目及能量，这种装置就称为电离室。

为了对电离室的工作原理有更明确的概念，我們扼要介紹一下电子在气体中运动的过程。

我們知道，气体分子經常处于方向杂乱的热运动中，因此气体分子具有杂乱的平均速度  $u_T$ ，在室温下  $u_T$  大約是  $10^4$  厘米/秒。

气体分子虽然具有这样杂乱的热运动速度，但是它們之間頻頻相碰，所以它們实际上“漂离”开原在位置是极为緩慢的。分子間平均行进  $L$  厘米就相碰一次， $L$  称为平均自由路程。平均自由路程显然与分子的种类有关，与气体压力成反比。在大气压下，气体分子的平均自由路程的数量級在  $10^{-5} \sim 10^{-6}$  厘米左右；电子的平均自由路程則稍大一些。

輻射線进入电离室后产生电离。只要进入粒子的能量大于气体分子(或原子)的电离电位，輻射能量就会把电子激发出来，成为电子及正离子。一般气体的电离电位大約为 30 电子伏特 (eV)。現在我們将几种常用的气体的电离电位列于表 1-1。

表 1-1

气 体	电离每对离子的能量，即电离电位(电子伏特)
H <sub>2</sub>	33.0
He	27.8
N <sub>2</sub>	35.0
O <sub>2</sub>	32.3
Ne	27.4
A	25.4
Kr	22.8
Xe	20.8
BF <sub>3</sub>	33.8
空 气	32.4

气体电离后，在电場作用下电子就趋向阳极，正离子就趋向阴极。此时电子和正离子的运动速度为杂乱的平均速度再加上定向的漂移速度  $u^-$  及  $u^+$ 。电离后的正离子与电子也可能再复合。因此电場必须足够大，使复合过程可以略去不考虑。电子也可能被其他中性分子所捕获而形成负离子，但对于单原子气体以及电子的运动速度較大时，这种机率也很小。

电离室內的場强，大約为几百伏/厘米，因此电子及离子在平均自由路程中所获得的能量只有  $10^{-2}$  电子伏特，远低于气体的电离电位，所以在电离室中的运动过程中，与气体分子是彈性碰撞。

描述电子或离子在气体中的运动，往往引用迁移率  $k$ ，迁移率的定义是在单位气压及单位場强下的漂移速度，即：

$$u^\pm = k^\pm E/P \quad (1-1)$$

式中  $u^+$  为正离子的漂移速度， $u^-$  为电子的漂移速度， $k^+$  为正离子的迁移率， $k^-$  为电子的迁移率， $E$  为場强，以伏/厘米表示， $P$  为气压，以“毛”\* 或“标准大气压”表示。

在同样的电場强度和气压下，电子的迁移率較离子大得多，大約大  $10^3 \sim 10^4$  倍左右，离子和电子的迁移率分別列于表 1-2 及表 1-3。电子的迁移率虽然很大，但只在一定  $E/P$  的极限值下才是常数，这些极限值也列于表 1-3。可以粗略地估計出，在一个大气压，每厘米几百伏的場强下，电子漂移速度的数量級为  $10^6$  厘米/秒，

\* 1 毛 = 1 毫米汞高 =  $\frac{1}{760}$  标准大气压。

表 1-2 离子在气体中的迁移率

离 子	气 体	迁移率 $k$ (厘米 <sup>2</sup> ·大气压/伏·秒)
A (正)	A	1.37/大气压
H <sub>2</sub> (正)	H <sub>2</sub>	6.7 /大气压
He (正)	He	5.1 /大气压
空气(正)		1.4 /大气压
空气(负)		1.78/大气压
C <sub>2</sub> H <sub>5</sub> OH(正)		0.34/大气压
C <sub>2</sub> H <sub>5</sub> OH(负)		0.27/大气压

表 1-3 电子在气体中的迁移率

气 体 类 别	一定压力下的 $k$ 值(厘米 <sup>2</sup> /秒·伏)	E/P 极限值
BF <sub>3</sub>	$5 \times 10^5 \sim 2.5 \times 10^6$ 压力为 1 厘米汞高	5~20 伏/厘米×厘米汞高
A 和 C <sub>2</sub> H <sub>5</sub> OH	15700 其中 A 为 9 厘米汞高 酒精为 1 厘米汞高	
C <sub>2</sub> H <sub>5</sub> OH	1630, 压力 10 厘米汞高	
H <sub>2</sub> 和 N <sub>2</sub>	$4 \times 10^5$ , 压力为 1 毫米汞高	2~50 伏/厘米×毫米汞高
H <sub>2</sub>	$6 \times 10^5$ , 压力为 1 毫米汞高	0.2~5 伏/厘米×毫米汞高
Ne	$12.5 \times 10^5$ , 压力为 1 毫米汞高	0.2~7 伏/厘米×毫米汞高
A	$2 \times 10^6$ , 压力为 1 毫米汞高	0.1~1 伏/厘米×毫米汞高
CO <sub>2</sub>	$1.05 \times 10^6$ , 压力为 1 毫米汞高	0.5~8 伏/厘米×毫米汞高
BF <sub>3</sub>	$10^7$ , 压力为 1 毫米汞高	1~9 伏/厘米×毫米汞高
0.9A+0.1CO <sub>2</sub>	$5 \times 10^6$ , 压力为 1 毫米汞高	0.1~1 伏/厘米×毫米汞高

而离子漂移速度的数量级为  $10^3$  厘米/秒。

一般电极间的距离是几厘米, 所以核辐射粒子进入电离室产生电离后, 离子对中的电子迅速趋向阳极, 大约在数微秒内到达阳极; 而正离子移动则缓慢得多, 到达阴极的时间大约是数毫秒。

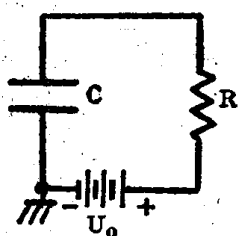


图 1-2 电离室的等效电路

如果一个核辐射粒子在电离室中所产生的离子对为  $N$ , 电离室分布电容为  $C$  (一般  $C$  为 10 微微法), 且电阻足够大 ( $\sim 10^9$  欧), 则  $RC$  时间常数远较电子、离子迁移时间大得多, 这样当电子、离子全部到达电极时, 电极上有电荷  $Ne$  聚集起来, 因而产生电压降变化

$$\Delta U = \frac{Ne}{C} \quad (1-2)$$

收集极(收集电荷的电极)可以是阳极, 也可以是阴极。用阳极作为收集极时电压变化为负(即下降), 用阴极作为收集极时电压变化为正(即上升)。

$e$  为单位电荷电量, 等于  $1.60 \times 10^{-19}$  库仑, 如果  $C$  以微微法为单位, 则

$$\Delta U = 1.60 \times 10^{-7} N/C \quad (1-3)$$

从上式可以看出，电离室的分布电容愈小则收集极上的电压变动愈大。实际上电容  $C$  除了电离室的分布电容外还必须加上放大器的输入电容。所以放大器往往和电离室装在一起以尽量减小总的分布电容。对于一个电离室来说，总的分布电容  $C$  已经固定（一般为 10 微微法左右），则电压变动  $\Delta U$  便决定于辐射在电离室中所产生的离子对  $N$  的数目。 $N$  愈大，收集极上的电压降变动也愈大。 $N$  显然与进入的射线有关，所以电离室可用以分辨不同的射线及测量能量。 $N$  的数值一般从  $10 \sim 10^5$ ，如  $C$  为 10 微微法，则电离室输出的电压变动一般从几十微伏到几毫伏之间，所以还必须连接适当的放大器，使电压放大至 100 伏左右加以测量。

收集极上的电压波形大致如图 1-3 所示。离子的收集时间  $T$  大约为几毫秒，即经过  $T$  时间收集极上的电压降达到最大值  $\frac{Ne}{C}$ ，然后逐渐下降，下降的速度决定于电路的时间常数  $RC$ 。

为了提高放大器的分辨率，使放大器能够工作在强计数率的情况下，前后脉冲不致互相重叠而影响能量（即电压振幅）的测量， $RC$  时间常数必须取得足够小。但最小的  $RC$  数值应该比离子的收集时间  $T$  大，否则分辨时间不会再有多大改善而输出电压振幅却迅速降低。

上述的电离室的输出电压振幅，主要由于正离子运动在收集极上感应聚集的电荷所产生，因此称为离子电离室。

如果我们仔细研究收集极上的输出电压波形，我们将发现输出电压波形的前

沿比图 1-3 所示要复杂。因电子的迁移率较离子大得多，当电子全部到达阳极时，由于正离子的感应作用，阳极上的电位变动不能以(1-2)式来表示。这时阳极上的电位变动与正离子的位置有关。换句话说，与辐射粒子所经的路径有关。只有当正离子也全部到达阴极后，电压变动才达到(1-2)式的数值。

如果产生离子对的地点离开阳极的距离平均为  $d$ ，而两电极间的距离为  $D$ ，则当电子到达阳极时，收集极上的电荷变动为

$$Ne - Ne \frac{(D-d)}{D} = Ne \frac{d}{D} \quad (1-4)$$

(1-4)式中左端第一项为电子的电荷，第二项为正离子的感应电荷，因此当电子刚

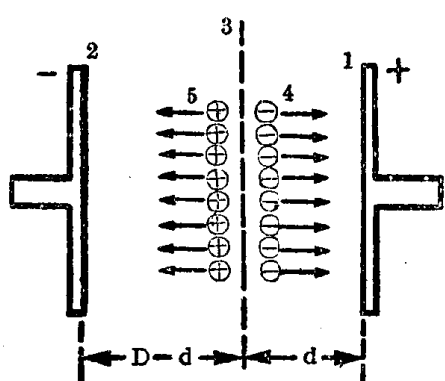
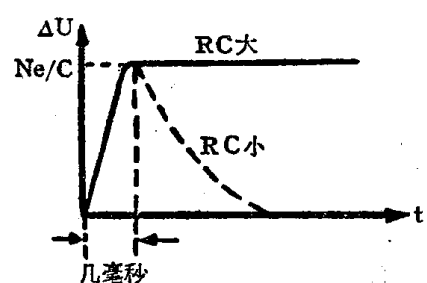


图 1-4 电离室的工作原理  
1—阳极；2—阴极；3—辐射线；  
4—电子；5—正离子

刚到达阳极时电位变动为

$$\Delta U' = \frac{Ne}{C} \frac{d}{D} \quad (1-5)$$

然后电压随着正离子趋向阴极而渐渐升高达达到  $\frac{Ne}{C}$  最大值，收集极上电压波形的前沿部分如图 1-5 所示。电子的收集时间约为 1~2 微秒。由于离子的收集时间较电子大 1,000 倍左右，所以为了提高电离室的分辨率，我们可以选取很小的  $RC$  时间常数， $RC$  的数值应比电子的收集时间  $T^-$  大，而比离子的收集时间  $T^+$  小得多。电离室用在这种工作状态时，称为电子电离室。

电子电离室比起离子电离室来，具有很多优点。第一个优点上面已讲过，就是电子电离室的分辨时间较离子电离室短 1,000 倍左右；第二个优点是由于电路  $RC$  时间常数小，所以交流电的干扰颤动噪声、电子管的热噪声等均大大降低（在第二章第四、五节将讨论）。但是这种简单的电子电离室也有很大的缺点，即输出电压决定于辐射线进入电离室的路径，因而不能表示射线的能量。为了克服这种缺点，后来提出了一种屏栅电离室。屏栅电离室是在普通电子电离室中加一个栅极如图 1-6 所示。

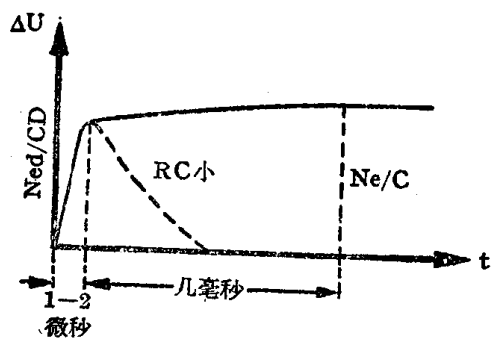


图 1-5 电离室的输出脉冲

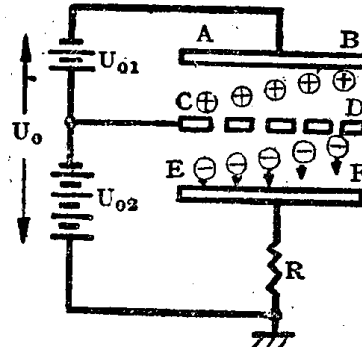


图 1-6 屏栅电离室

将阳极作为收集极，在阴极和阳极之间加一个栅极。栅极一般用金属丝制成。阴极上加一个负高压  $U_0 (= U_{01} + U_{02})$ ，栅极上加一负高压  $U_{02}$ 。辐射产生的离子对在阴极 AB 和栅极 CD 之间。离子对产生后，电子就穿过栅极趋向阳极。由于栅极的屏蔽作用，正离子的运动不会在收集极感应产生电荷，于是电子全部到达收集极后，电压降就达到  $\frac{Ne}{C}$ 。这样采用了屏栅极后，电子电离室的输出脉冲电压幅值就正比于辐射线的能量了。

必须指出：由于栅极的屏蔽不能十分完善，以及各个电子到达收集极的时间不同，输出电压波形的前沿到达最大值时不是十分尖锐的。一般如果屏栅极采用 0.1~0.2 毫米直径、相距为 1~2 毫米的金属丝做成，屏蔽程度就可以达到 98% 以上。

栅极至阳极间的电压  $U_{02}$  必须比阴极至栅极间的电压  $U_{01}$  大得多，以免电子

經過柵极时被柵极捕获， $U_{02}$  与  $U_{01}$  的比值与柵极金属絲的直徑、各电极間的距离有关，一般为数倍。 $U_{01}$  电压不能过低，以保证柵极与阴极間有足够的場强来消除离子复合現象。

采用屏柵电离室时必須将电离限制在柵极与阴极之間。一般往往将放射源装在阴极上，同时使柵极与阴极間的距离大于辐射粒子的射程。

从屏柵电离室輸出的电压波形大致如图 1-7 所示。

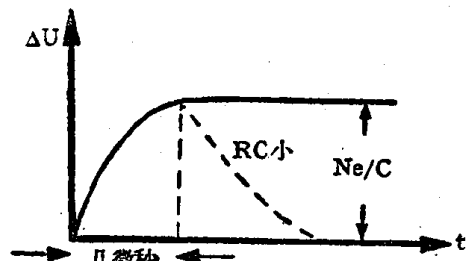


图 1-7 屏柵电离室的输出波形

## 二、电离室用于測量 $\alpha$ 、 $\beta$ 、 $\gamma$ 射綫時的基本知识

$\alpha$  和  $\beta$  都是荷电粒子，这些荷电粒子在气体中行进时，由于和气体分子或原子相碰，严格說来是由于行經气体分子、原子附近时的强烈的电場作用，使分子或原子的电子电离出来。 $\alpha$  粒子的体积大，速度慢，和气体相碰机会多，所以  $\alpha$  粒子的电离本領比  $\beta$  粒子大得多。电离本領以电离比值（即单位距离的电离数目）来表示。 $\beta$  射綫的电离比值一般在  $10^2 \sim 10^3$  对/厘米之間，而  $\alpha$  射綫的电离比值在  $10^4 \sim 10^5$  对/毫米之間。所以  $\alpha$  粒子的輸出脉冲幅值要比  $\beta$  粒子的大得多。

$\alpha$  射綫的穿透本領很差，百分之几毫米厚的云母片或鋁片就足以把  $\alpha$  射綫擋住，所以电离室用以測量  $\alpha$  粒子时一般采用两种方法：第一种方法是将电离室开个口（窗），这种电离室大都是空气式的；第二种方法是将放射源置于电离室内。 $\alpha$  射綫在空气中及一般气体中的射程約为数厘米，电离室要測量  $\alpha$  射綫的能量时必須保证整个射程都在电离室内。

如果  $\alpha$  射綫的整个射程都包括在电离室的有效体积內，則  $\alpha$  射綫的全部能量都用于电离。这样，电离的数目  $N$  很易从  $\alpha$  射綫的能量  $E_\alpha$  及气体的电离电位  $E_i$  求得

$$N = \frac{E_\alpha}{E_i} \quad (1-6)$$

例如： $\text{RaC}' (\text{Po}^{214})$  放射  $\alpha$  粒子的能量为 7.68 百万电子伏特，如电离室为空气式，空气的电离电位从表 1-1 可查得为 32.4 电子伏特。

所以 
$$N = \frac{7.68 \times 10^6}{32.4} \approx 237000 \text{ 对}$$

如果电离室的分布电容为 10 微微法，则从(1-3)式可以計算得输出电压的幅值为 3.79 毫伏。

$\beta$  射綫的穿透能力比  $\alpha$  射綫要大得多， $\beta$  射綫在空气中的射程隨着能量不同

有很大变化，从几厘米至十几米。所以一般电离室并不能把 $\beta$ 射线的射程全部包括在内。电离室中 $\beta$ 粒子所产生的离子对数目 $N$ 决定于 $\beta$ 粒子在电离室中的路径 $l$ 及 $\beta$ 粒子的电离比值。 $\beta$ 粒子的电离比值与能量有很大关系，它随粒子能量的增大先迅速减小而后缓慢上升。电离比值显然也与气体的性质及密度有关，表1-4为不同能量的 $\beta$ 粒子在标准状况下在空气中的电离比值，此处所列出的电离比值一般是指某种气体在标准状况下而言。

表 1-4

速度(光速 $c$ )	电子能量(百万电子伏特)	电离比值 (离子对/ 厘米空气)	速度(光速 $c$ )	电子能量(百万电子伏特)	电离比值 (离子对/ 厘米空气)
0.001979	$10^{-6}$	0	0.9791	2.00	59
0.006257	$10^{-5}$	0	0.9893	3.0	61
0.0240	$1.46 \times 10^{-4}$	7700	0.9934	4.0	62
0.1950	$10^{-2}$	$\sim 1100$	0.9957	5.0	64
0.4127	0.05	200	0.9988	10	68
0.5483	0.10	150	0.99969	20	74
0.8629	0.50	64	0.99949	50	81
0.9068	0.70	61	0.9999871	100	85
0.9411	1.00	59			

例如，假定 $\beta$ 粒子的能量为150千电子伏特，在电离室中的路程为5厘米，则一个 $\beta$ 粒子所产生的离子对为600，如果电离室的分布电容为10微微法，则输出脉冲电压幅值为9.6微伏。

这样，为了测量粒子的能量，必须将电压放大至50~100伏左右，所以需要放大倍率极高( $\sim 10^7$ )的灵敏放大器。

制造高倍率放大器在技术上是很困难的，必须努力克服放大器本身的噪声，使它降到最低水平( $\sim$ 几微伏)。

不同气体的电离本领是不同的，表1-5是几种不同气体对宇宙射线的电离比值，可以作为参考。

表 1-5

气 体	电 离 比 值
H <sub>2</sub>	6
He	5.9
A	29.4
空气	21
CH <sub>4</sub>	16
Ne	12
BF <sub>3</sub>	44
C <sub>2</sub> H <sub>5</sub> OH	33

从表1-5可以看出，氩气具有比空气高得多的电离比值，即使如此，用电离室